

曲線桁橋腹板の座屈パラメータに関する実績調査

大阪市立大学工学部	正会員	中井 博
大阪市立大学工学部	○正会員	北田 俊行
阪神高速道路公団	正会員	石崎 浩
川崎重工技術研究所	正会員	大南 亮一

1. まえがき 曲線桁橋腹板に関する実績調査を行い、曲率を有する腹板の極限強度に影響を及ぼすと考えられる各種座屈パラメータが、どのような範囲に分布しているかを明らかにしたので、ここにその一部を報告する。

2. 調査の概要 本調査では、図1に示すように連続桁、あるいは単純桁の支点付近と支間中央付近の腹板パネル（図2参照）を調査の対象とした。

3. 調査結果と考察 アンケート用紙を各橋梁製作会社に送付し、パラメトリック解析に必要な形状寸法や材質などを記入してもらい、これを収集した。その結果、33社から125橋の曲線桁橋腹板に関するデータが収集できた。その内訳は表1に示す通りである。

まず、調査橋の完工年、あるいは、完工予定年は図3に示す通りで、ほとんどが昭和48年発刊の道路橋示方書によつて設計されたものである。

図4に曲率半径Rのヒストグラムを示す。その際、曲率半径R=200m以上の橋は、直線桁橋と見なし、調査の対象外とした。又、最小の曲率半径は、10mであった。

図5は、アスペクト比%のヒストグラムを示したものである。ほとんどの橋が 0.5 ≤ % ≤ 1.0 の範囲内に入つており、とくに % = 0.75 附近にピーカーが現れている。

図6には、板幅と曲率半径の比%のヒストグラムを

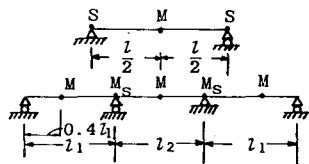


図1 調査箇所

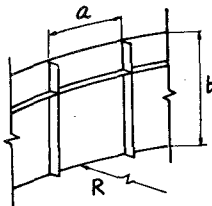


図2 調査腹板パネル

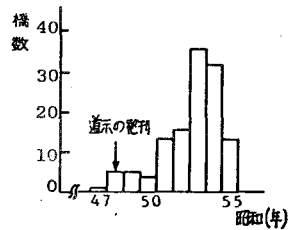


図3 完工年のヒストグラム

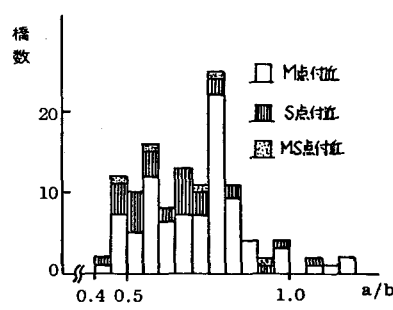


図5 アスペクト比%のヒストグラム

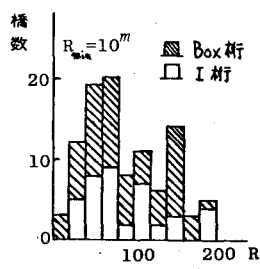


図4 曲率半径Rのヒストグラム

調査箇所	I桁	Box桁
単純桁支点付近	16	15
連続桁支点付近	0	5
支間中央部	34	55

表1 調査対象箇所の橋数

示したが、 γ_R と許容初期たわみとの関係を調べるために、以下の考察を行なった。

いま、曲率による直線からの曲がり量(偏荷量)を図6に示すように

ΔR とすると、この図から $(\frac{R}{2})^2 + (\Delta R)^2 = R^2$ --- (1) の関係が得られる。ところが、実橋においては、 $\Delta R \ll R$ であるので、 $\Delta R \approx \frac{\delta}{R}$ --- (2) と表すことができる。そこで、腹板の許容初期たわみ量 δ を $b/250$ (示方書の腹板に対する仮組立(精度)とし、実橋のアスペクト比の最大値と見なすことができる) $\gamma_R=1$ の場合に適用すると、 $\gamma_R=0.032$ となる。一方、圧縮部材に対する示方書¹⁾の許容量 $\delta = \frac{t}{1000}$ を準用して $\ell = 3$ とすると、 $\gamma_R = 0.008$ となる。これらの結果を図6に示したが、実橋の γ_R 値は、両者の許容量のはば間に納まっていることがわかる。

つぎに、幅厚比 b/t の分布を各材質別に調べたが、そのうち図7はSM50Y相当級のものの分布を例示したものである。水平補剛材本数が1本及び2本の場合、 b/t はそれなりに110から210、及び210から290の間に分布していることがわかる。

さらに、曲率半径 R と b/t の相関関係を調べたが、図8に示す通り、両者には顯著な相関性は認められなかった。これは我が国の鋼線桁橋腹板の設計においては、曲率の影響が考慮されていないことに起因するためであると思われる。

図9は、 γ_R と垂直補剛材剛度 γ_{VN} ($\frac{I_V}{b^2}$; I_V は垂直補剛材の設計断面(二次モーメント))との相関関係を調べたものである。図中の実線は、示方書¹⁾の必要剛度 $\gamma_{VN} = 8.0 (\frac{t}{R})^2$ で、破線はその5倍の値をアリットしたものである。実橋の γ_R はほぼ実線と破線の間に分布することがわかる。このように γ_R に対して、比較的大きい γ_{VN} がかなり存在するときは、スパン方向に補剛材の寸法を変化させず、工作上、必要剛度の最大のもので寸法を統一する傾向があるためであると考えられる。

4. あとがき 本調査にあたり、アンケートに協力いただいた橋梁製作会社各位に、深謝の意を表します。

参考文献 ①道路橋示方書、日本道路協会、1973年2月

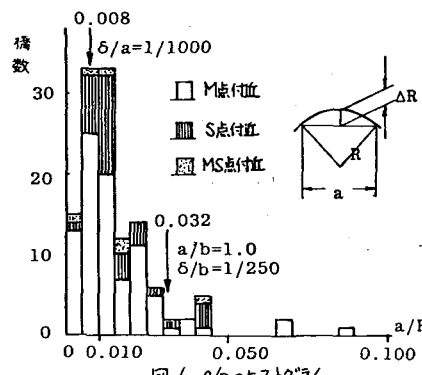


図-6 a/R のヒストグラム

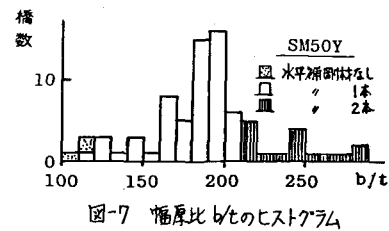


図-7 幅厚比 b/t のヒストグラム

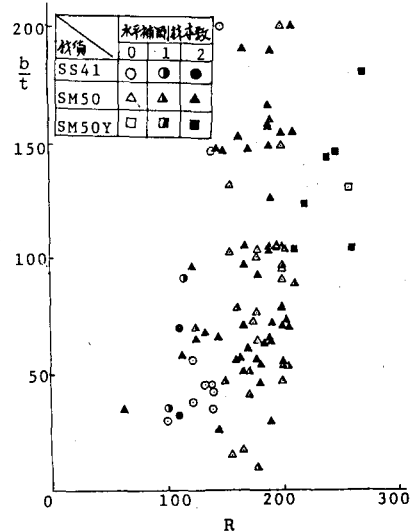


図-8 $R - b/t$ の相関関係

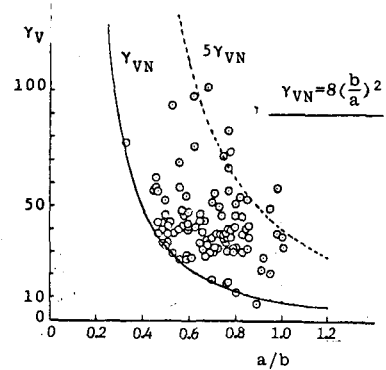


図-9 $\gamma_R - \gamma_{VN}$ の相関関係